

# S型サンドポンプの設計について

山根 信太郎

## 1. はしがき

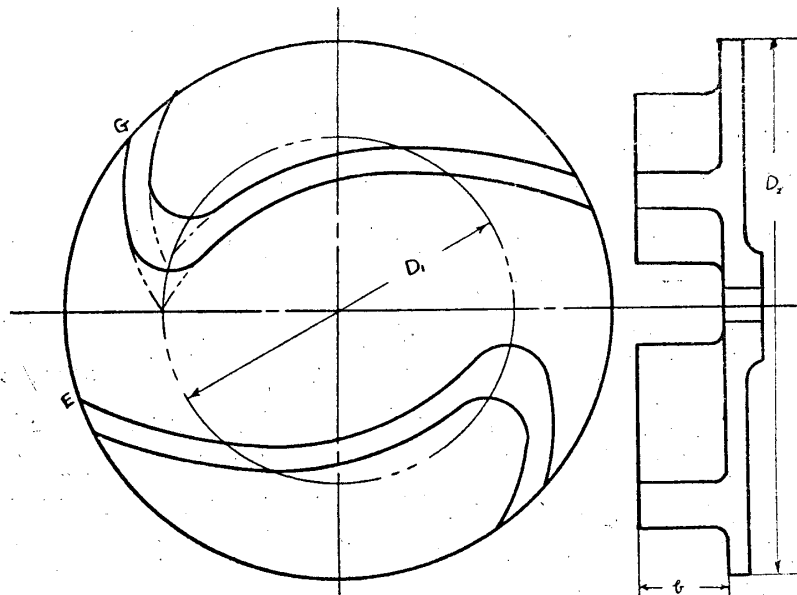
S型オープンサンドポンプは羽根の形が少しく異様なるため、如何なる設計法に従つて製作されるのか、ちよつと見当がつかないように思われる。しかしこれをし細に観察すれば、普通に用いられるポンプの設計法と大して変るところはない。すなわち従来設計法に準ずることができるのである。

よつてここでは pfleiderer<sup>(1)(2)</sup>の方法に従い、S型サンドポンプに適用しうる揚程減少数を求め、S型サンドポンプの一般的設計法について述べてみた。

## 2. 假定

S型のオープン、サンドポンプの解析を試みるに際して、次のような假定をする。

(i) オープン型ではあるがサイドクリアランスによる逆流の影響は一応ないものとする。  
(もつとも揚程減少数Pを求めるばあいは側間隙を考慮して計算した)

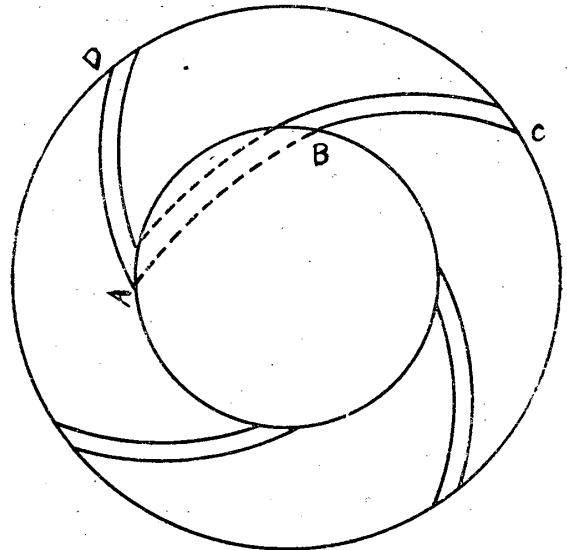


第1図 S型サンドポンプ イムペラ

(ii) S型のポンプを第2図の如く4枚羽根の羽根車の入口を、点線の如く閉じてできたものとする。故にこのばあいの背圧はそのままBC部分に作用するものとする。

(iii) 羽根に流入する水は渦をつくらず、羽根の水に与るエネルギーはモーメント理論による。ただしこのばあい流入水は周速の方向にの方向対して90°とする。従つて

$$H_{thz} = \frac{1}{g} u_2 v_2 \cos \alpha_2 = \frac{1}{g} u_2 v_{2u}$$



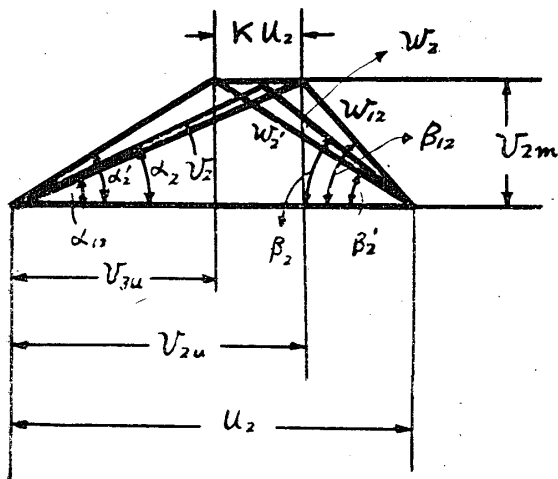
第2図 S型ポンプを4枚羽根ランナーの入口を点線の如く閉じて出来たものとする

## 3. 揚程減少数

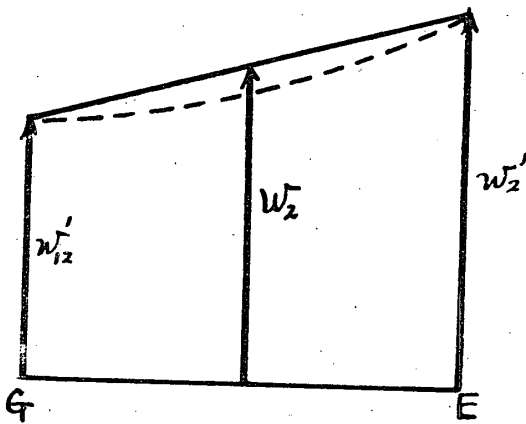
上述の假定に従いS型ポンプの羽根車を設計するのであるが、このような羽根は如何なる揚程減少数Pをもつかを知らねばならない。無限羽根を有するばあいの理論揚程 $H_{thz}$ は

$$H_{thz} = \frac{1}{g} u_2 v_{2u} \quad (1)$$

しかるに実際には有限個の羽根をもつて揚程 $H_{th}$ を作る。もとより $H_{th}$ は $H_{thz}$ より小さい値である。これは羽根数が有限なため無限羽根の水の相対流出角 $\beta_2$ より若干小さい角 $\beta_2'$ の方向に流出するため、第3図の速度三角形に於て $v_{2u}$ を $v_{2u}'$ に減少させ、ひいて $H_{thz}$ をこれより小さい値



第3図 出口速度線図



第4図 羽根表面から裏面に及ぶ間の速度分布

$$H_{th} = \frac{1}{g} u_2 v_{3u} \quad (2)$$

とするからである。ここに  $H_{th}$  は有限羽根のばあいの理論揚程で水力効率を  $\eta_h$  とすると  $H_{th} = \Delta H / \eta_h$  であらわせる。そこで今

$$H_{th\infty} = (1 + P) H_{th} \quad (3)$$

とおけば無限羽根のもつ揚程と有限羽根のもつ揚程との比  $1 + P$  を求めることができる。ここに  $P$  は揚程減少数と呼ばれるもので普通のポンプではこれを求める一般式が得られているのであるが、S型ポンプにそのまま適用できるものはない。そこでS型ポンプについて仮定(ii)に従い  $P$  を求めてみる。 $\Delta h$  を羽根の表(第2図のAD部)と裏(第2図のBC部)との圧力差とすれば任意の半径上における、羽根に及ぼす圧力は

$$K = r \Delta h b \quad (4)$$

ただし  $b$  は羽根の幅  $r$  は単位容積の水の重

さである。従つて羽根車が水に伝えるモーメントは羽根数は2枚であるから

$$M = Z \int_{r_1}^{r_2} r \Delta h b r dr = 2K \int_{r_1}^{r_2} r dr = K(r_2^2 - r_1^2) \quad (5)$$

今流量を  $Q$  とすれば流路ピッチを  $t_2$  として

$$Q = Z t_2 b_2 v_{2m} = \frac{2}{n} \pi r_2 Z b_2 v_{2m} \quad (6)$$

$v_{2m}$  = 出口放射流出速度

$$t_2 = \frac{\pi D_2}{n}$$

$n$  はピッチを羽根数に換算して考えた相当数。モーメントは角速度との積であるから

$$M = \frac{r Q H_{th}}{\omega} = \frac{r Q u_2 v_{3u}}{g \omega} = \frac{r 2 Z \pi r_2^2 v_{2m} v_{3u}}{n g} \quad (7)$$

(5) と (7) とを使つて

$$g \Delta h_2 = \frac{\pi v_{3u} v_{2m}'}{1 - (r_1/r_2)^2} \quad (8)$$

Pfleiderer によれば羽根表裏の速度差が圧力になるものとするから

$$w_2'^2 - w_{12}^2 = 2g \tau \Delta h_2$$

ただし  $\tau$  は経験によつて定められる常数。

これより

$$w_2'^2 - w_{12}^2 = -2\tau \pi \frac{v_{2m}' v_{3u}}{1 - (r_1/r_2)^2} = 2a v_{2m}' v_{3u} \quad (9)$$

$$a = \frac{\tau \pi}{1 - (r_1/r_2)^2} \quad (10)$$

$$v_{2m}' = \frac{2Z}{n} v_{2m} \quad (11)$$

このばあい羽根が少ないからここを通過する実効流量は羽根を普通にもつものに比べて、減少する傾向があり関係速度のGE上の分布は直線ではない。恐らく点線のように上に凹であるはずである。しかし便宜上第4図のように直線とみなせば

$$w_{12} + w_2' = 2w_2$$

故に(9)式は

$$w_2(w_2' - w_{12}) = a v_{2m}' v_{3u}$$

速度三角形第3図より

$$v_{2m}' = w_2 \sin \beta_2$$

であるから上式は

$$w_2' - w_{12} = a v_{3u} \sin \beta_2 = v_{2m} \quad (12)$$

しかるに速度三角形より

$$v_{2m}^2 + (u_2 - v_{2u})^2 = w_2'^2$$

$v'_{2m}{}^2 + (u_2 - v_{3u})^2 = w_{12}{}^2$   
 であるからこれを (12) 式に入れて整理すれば

$$v_{3u} = \frac{(u_2 + a v'_{2m}) \pm \sqrt{(u_2 + a v'_{2m})^2 - (1 - a \sin^2 \beta_2)(2v_{2u}u_2 - v_{2u}^2)}}{1 - a \sin^2 \beta_2} \quad (14)$$

一方  $w'_2 - w_{12}$  は速度三角形より

$$w'_2 - w_{12} = a v_{3u} \sin \beta_2 = (v_{2u} - v_{3u}) \cos \beta'_2 \quad (15)$$

これをとけば

$$v_{2u} = v_{3u} \left(1 + \frac{a}{\cos \beta'_2} \sin \beta_2\right) \quad (16)$$

$$= v_{3u} (1 + P) \quad (17)$$

ただし

$$P = \frac{a \sin \beta_2}{\cos \beta'_2} = \frac{\tau \pi \sin \beta_2}{\{1 - (r_1/r_2)^2\} \cos \beta'_2} \quad (18)$$

(14) 式によれば

$$v_{3u}^3 = f(a v'_{2m} u_2 \beta_2 v_{2u})$$

$$a = \frac{-v'_{2m} v_{3u} \pm \sqrt{v'_{2m}{}^2 v_{3u}^2 + v_{3u}^2 \sin^2 \beta_2 (u_2 - v_{3u})^2 - u_2^2 - v_{2u}^2}}{v_{3u} \sin^2 \beta_2} \quad (19)$$

これより  $a$  を求め (10) 式より

$$\tau = \frac{a}{\pi} \{1 - (r_1/r_2)^2\} \quad (20)$$

より  $\tau$  を求める。次の如き諸元をもつ S 型サンドポンプのカタログより  $a$  を計算する。

$$D_2 = 350 \text{ mm} \quad D_1 = 200 \text{ mm} \quad n = 1200 \text{ r. p. m}$$

$$H = 20 \text{ m} \quad Q = 100 \text{ l/sec} \quad b = 147 \text{ mm}$$

$$\beta_2 = 30^\circ \quad \text{側間隙} = 4.5 \text{ mm}$$

しからば  $a = 3.9$  従つて  $\tau = 0.77$  をうる。これはこの水の流れが流線を形造る性質のものでなく、実際には渦となつており、かなりの損失をもつことを思えばさして妥当を欠くものとは思われない。

よつて  $\tau$  は 0.77 を採用することとする。

### 5. P の値

$v'_{2m} u_2 D_2/D_1 = m$   $\beta_2$  の 4 つの値を広い範囲に変えることにより、これに対する  $1 + P$  の変化を (14) 式より求めてみた。ただし側間隙は 4 mm である。計算の結果によると  $v'_{2m}$  による  $1 + P$  の変化は周速度  $u_2$  による  $P$  の変化と同様に、実用の範囲では僅少である。たとえば一例として  $m = 1.5$   $u_2 = 15 \text{ m/sec}$  のばあいの  $v'_{2m}$  と

$$(u_2 - v_{3u})^2 - (u_2 - v_{3u})^2 = 2a v'_{2m} v_{3u} + a v_{3u} \sin^2 \beta_2 \quad (13)$$

これより  $v_{3u}$  を求めれば

で  $\beta_2 u_2 v'_{2m} a$  が与えられれば  $v_{3u}$  は求まる。そこで  $a v'_{2m} u_2 \beta_2$  を種々に変化させて  $v_{3u}$  を求め  $1 + P$  を求めておけば、 $H_{th\alpha}$  の値を求めることが極めて容易となり羽根車の設計をたやすくすることができる。

### 4. $\tau$ の値

以上の式より  $1 + P$  を求めるのであるが、この際  $\tau$  を与うる必要がある。Pfleiderer はこれを経験によるものとしたが、ここでは実際の資料に基きほど妥当と思われる値を用うることとした。(14) 式を変形すれば

$1 + P$  の関係を掲げると

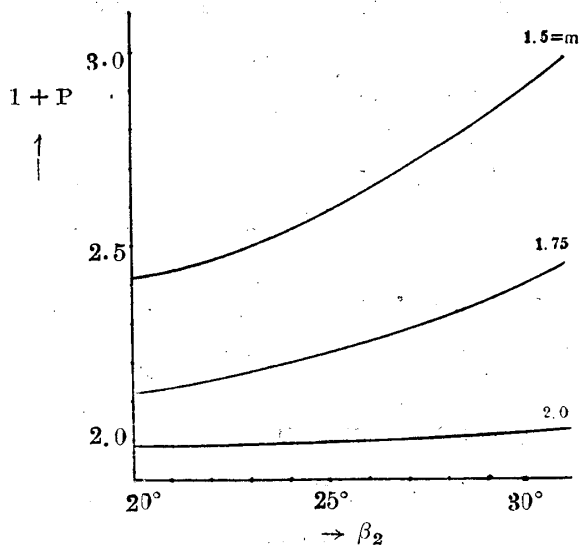
$v'_{2m}$  m/sec と  $1 + P$

	0.5	0.75	1.0	1.25	1.5
$\beta_2 = 20^\circ$	2.13	2.24	2.25	2.27	2.14
$\beta_2 = 30^\circ$	2.43	2.47	2.45	2.52	2.55
$\beta_2 = 40^\circ$	2.82	2.84	2.84	2.88	2.92

又  $u_2$  と  $1 + P$  との関係は  $m = 1.5$   $v'_{2m} = 1.0 \text{ m/sec}$  として

$u_2$	m/sec			
	15	20	25	30
$\beta_2 = 20^\circ$	2.25	2.24	2.22	2.29
$\beta_2 = 26^\circ$	2.45	2.54	2.45	2.54
$\beta_2 = 30^\circ$	2.84	2.87	2.76	2.82

これらの信じろべき有効数字は第二位までであることを考えれば  $u_2$  及び  $v'_{2m}$  に対する  $1 + P$  の値は殆んど無視できるものである。従つて  $v'_{2m} = 0.5 \sim 1.5 \text{ m/sec}$   $u_2 = 15 \sim 30 \text{ m/sec}$  の範囲では  $1 + P$  は変化しないものとみて、 $\beta_2$  と  $m = D_2/D_1$  と  $1 + P$  との関係求めてみると第 5 図の如くである。図をみると  $m$  が 2 以上になると  $\beta_2$  の変化に対する  $1 + P$  の値の変化が殆んど認められない。



第5図

滑り係数  $1+P$  と直径比  $\frac{D_2}{D_1}=m$  と  $\beta_2$  との関係

これは直径比が大となるにつれて羽根の重り合う部分が多くなり滑りの影響が  $\beta_2$  によつて著しく揚程に響かないためと考えられる。

6. 設計公式

$1+P$  を第5図によつて求めることができれば羽根車の設計は従来の公式によつてもよいのであるが、寸法の決定は従来のように入口部から行わず出口部分から行う方が便利である。これを考慮して従来の面倒な  $u_2$  の決定法を避け、きわめて単純化された設計方法について述べる。速度線図によれば

$$u_2(u_2 - \frac{v_{2m}'}{\tan \beta_2}) = g H_{thz}$$

$$\text{故に } u_2 = v_{2m}' / 2 \tan \beta_2 + \sqrt{\{(v_{2m}' / 2 \tan \beta_2)^2 + g H_{thz}\}} \quad (21)$$

しかるに  $v_{2m}' / 2 \tan \beta_2$  は  $g H_{thz}$  に比べきわめて小さい値であるから、(21)式は大略

$$u_2 = \kappa \sqrt{g H_{thz}} \quad (22a)$$

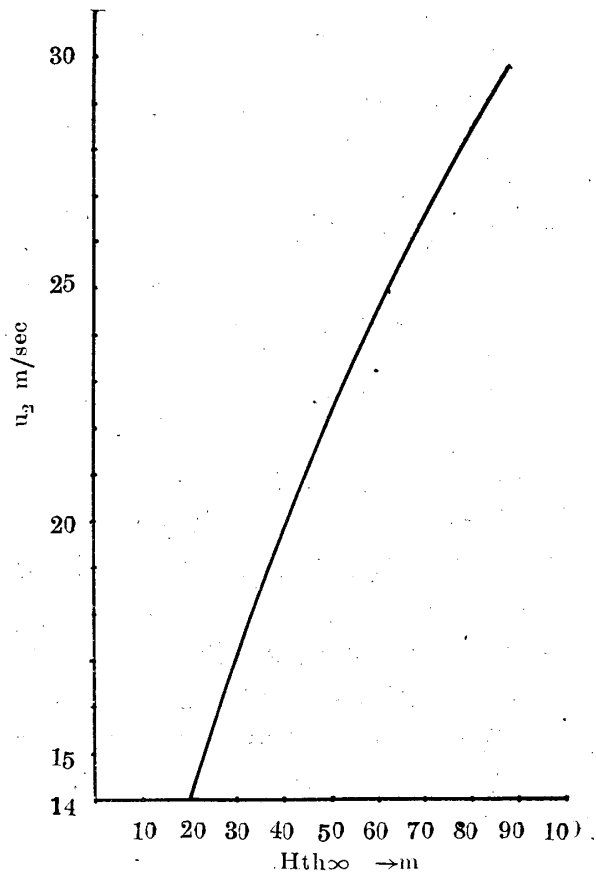
とおける。

そこでこれに従つて  $H_{thz}$  に対する  $u_2$  を求める図表を作れば直ち  $H_{thz}$  より  $u_2$  を求めうる。これを第6図に示した。

これによれば  $H_{thz}$  を

$$H_{thz} = (1+P) \frac{\Delta H}{\gamma h} \quad (23)$$

で求めれば直ちに図表より  $u_2$  をうる。幅  $b_2$  は



第6図  $H_{thz}$  と  $u_2$  との関係

$$b_2 = Q' / t_2 v_{2m}' = Q' / \pi r_2 v_{2m}' \quad (24)$$

$$t_2 = \pi D_2 / n \quad (25)$$

$t_2$  は出口通路ピッチで一般には  $\pi D_2 / 4$  附近にとられている。 $v_{2m}'$  はあまり大きくとると  $b_2$  が小さ過ぎるから適切な値を選ばねばならない。

S型サンドポンプでは  $0.8 \sim 1.5 \text{ m/sec}$  が普通であるが、回転数が大きいばあいはこれより大きくとる必要がある。しかし回転数を余り大きくすることは入口の周速度を大きくすることであり、従つて流入角  $\beta_1$  を小さくする。これは羽根に流入する水が羽根に沿つて流れず、衝突する傾向をつよくもつことを意味し、羽根の磨滅に重大な影響を及ぼすものである。よつて大なる回転数は、できるだけ避くべきであつて大体  $1000 \text{ r. p. m}$  附近の値をとるのが、もつとも良いように思われる。 $\beta_2$  は一般のポンプと同じ様に考えてもよいと思われるからなるべく  $25^\circ \sim 33^\circ$  の範囲を取る。これはこの範囲がポンプに最高の効率を与うるからである。

$1+P$  を決める際  $D_2/D_1 = m$  を仮定する。多く

のS型サンドポンプでは $m=2\sim 1.5$ の範囲にある。

そこで $1+P$ を決める際に $m$ が定まっているから入口直径 $D_1$ は

$$D_1 = D_2/m \quad (26)$$

で決まる。又入口角 $\beta_1$ は

$$\beta_1 = \tan^{-1} \frac{v_{1m}}{u_1} \quad (27)$$

で決るが、従来 $S$ 型サンドポンプではこれで得られる $\beta_1$ では小さすぎる。これは従来 $S$ 型サンドポンプは $m$ を小さく、従て $u_1$ を大きくするように選んで作つてあるからである。

しかし $m$ が大きいほど $1+P$ は小さく又 $u_1$ も小さくなるのであるから、これはなるべく大きく取るべきである。

そうすれば $\beta_1$ が大きくなり水が羽根に衝突する傾向は少なくなる。よつて $S$ 型サンドポンプでは、差支えない限り $m=2$ 附近を採用すべきであるとする。従来サンドポンプでは $1.75\sim 1.5$ の範囲が多い。

## 7. 設計例

設計例として次の如き仕様のポンプを設計する。

$$Q = 250 \text{ ton/h} = 70 \text{ l/sec}$$

$$H = 25 \text{ m/sec}$$

$$n = 1200 \text{ r. p. m.}$$

### (1) 軸馬力

$$\text{水馬力} = W. HP = \frac{\gamma Q H}{75} = 13.3 Q H$$

$\eta = 45\sim 55\%$ にとる。 $\eta = 0.5$ とすれば

$$BHP = \frac{W. HP}{\eta} = 46.6 \quad \text{よつて } BHP = 50 \text{ 採用}$$

### (2) 比較回転度 $n_s = \frac{n\sqrt{Q}}{H^{3/4}} = 28.3$

### (3) 設計流量 $Q'$

$S$ 型ポンプはオープンであるから、逆流を考

えて設計流量を大きくとらねばならない。

流量効率 $\eta_v = 70\% \sim 80\%$ とすれば

$$Q' = (1.4\sim 1.1)Q \quad (28)$$

$1.3Q$ とすれば $Q' = 91 \text{ l/sec}$

### (4) $D_2$ の決定

$\beta_2 = 25^\circ$   $m = 1.75$ とすれば $1+P$ は第5.図より

$1+P = 2.25$   $\eta_h = 0.85$  とすれば

$H_{thx} = 66$ しかれば第6.図より $u_2 = 25.1 \text{ m/sec}$ をうる。故に  $D_2 = 60u_2/\pi n = 0.4 = 400 \text{ mm}$

### (5) 他の諸元

公式(26)より $D_1 = D_2/m = 228 \text{ mm}$

$v'_{2m} = 1.5/\text{sec}$ とし $t_2 = \pi D_2/4$ とすれば

$$b_2 = \frac{2Q'}{\pi D_2 v'_{2m}} = 0.0965 = 97 \text{ mm}$$

$$b_1 = b_2$$

$$v_{1m} = 2.6 \text{ m/sec}$$

$$u_1 = \frac{\pi D_1 n}{60} = 14.3 \text{ m/sec}$$

$$\tan \beta_1 = v_{1m}/u_1 = 0.182 \quad \beta_1 = 10^\circ 20'$$

$\beta_1 = 16'$ 附近を取ることにする。

厚さは磨耗上の考慮から決められる。

以上で羽根の諸元は全部決定される。

## 7. 結 語

以上を要するに、 $S$ 型サンドポンプの滑り率 $1+P$ を求める公式を導き、これより $u_2$ ,  $\beta_2$ ,  $m$ ,  $v'_{2m}$ の種々な値に対する $1+P$ の変化を調べたのであるが、 $v'_{2m}$ と $u_2$ の変化に対する $1+P$ の変化は殆んど無視しうることがわかつた。

そこで $\beta_2$ ,  $m$ に対する $1+P$ のカーブを求めこれを用いて $S$ 型サンドポンプの設計を簡易化することを試み、 $S$ 型サンドポンプ設計に対する資料を提供したものである。

## 文 献

(1) Pfeleiderer: Kreiselpumpen

(2) 生源寺順: 渦巻ポンプ講義